

## جبران تغییر حجم در اندازه گیری الکترومغناطیسی غیر تهاجمی گلوکز خون

سید محمد علی<sup>۱</sup>، رضا جعفری<sup>۲</sup>، نصرت الله گرانپایه<sup>\*</sup><sup>۳</sup>

۱- مربی، ۲- استادیار، ۳- دانشکده مهندسی برق و کامپیوتر، دانشگاه صنعتی خواجه نصیرالدین طوسی

(دریافت: ۱۳۹۰/۰۷/۰۱، پذیرش: ۱۳۹۰/۱۱/۲۴)

### چکیده

امواج الکترومغناطیسی می‌توانند اثرات مخربی بر سلامت انسان داشته باشند. در روش‌های نوین جنگی، استفاده از روش‌های الکترومغناطیسی برای ناکارآمدسازی نیروهای انسانی مورد استفاده قرار می‌گیرند. تشعشع میدان‌های الکترومغناطیسی می‌تواند بعضی پارامترهای فیزیولوژیک بدن از جمله میزان قند خون را تغییر دهد. بدین ترتیب، نیاز به اندازه گیری مداوم گلوکز خون که مستلزم نمونه گیری است وجود دارد. در این مقاله از یک روش جدید غیر تهاجمی موسوم به روش الکترومغناطیسی استفاده برای اندازه گیری قند خون استفاده کردند. این روش اندازه گیری از یک ترانسفورمر به عنوان حسگر الکترومغناطیسی استفاده می‌کند که خون در هسته آن قرار می‌گیرد. تغییر غلظت گلوکز خون موجب تغییر در مؤلفه‌های دی الکتریک خون (هسته) شده و امپدانس مدار اندازه گیری را تغییر می‌دهد. نسبت  $T/R$ ، نسبت سیگنال خروجی سیم‌لوله ثانویه به سیگنال مرجع وارد شده به سیم‌لوله اولیه، به عنوان معیاری از تغییر امپدانس مدار اندازه گیری می‌شود. ایده‌آل این است که کمیت  $T/R$  تنها تابعی از غلظت گلوکز باشد، ولی عوامل مزاحم دیگری از قبیل تغییر حجم خون درون حسگر، بر امپدانس هسته و در نتیجه بر نسبت  $T/R$  مؤثرند. در این مقاله نشان می‌دهیم که اثر تغییر حجم بر  $T/R$  به مرتب بیشتر از اثر غلظت گلوکز است و بنابراین حذف اثر تغییرات حجم از نتایج اندازه گیری ضروری است. راه کاری ارائه می‌شود که با یک روش الکترومغناطیسی، اثر تغییرات حجم خون در اندازه گیری غیر تهاجمی گلوکز خون جبران سازی شود و نشان خواهیم داد که اعمال این روش بر نتایج آزمایش همبستگی خوبی را بین نسبت  $T/R$  و غلظت گلوکز به وجود می‌آورد.

**کلیدواژه‌ها:** اندازه گیری غیر تهاجمی گلوکز، اندازه گیری الکترومغناطیسی گلوکز، اندازه گیری بیوامپدانسی گلوکز.

## Volume Variation Compensation in Non-Invasive Electromagnetic Blood Glucose Measurement

S. M. Alavi, R. Jafari, N. Granpayeh\*

Faculty of Electrical and Computer Engineering, K. N. Toosi University of Technology

(Received: 09/23/2011, Accepted: 02/13/2012)

### Abstract

Electromagnetic waves can have destructive effects on human health. In modern war strategies, electromagnetic methods are used to disable the manpower. Radiation of electromagnetic fields could change some physiological parameters of the body, such as blood glucose level. So it needs frequent blood glucose measurement by sampling. In this article, we have proposed a new non-invasive method for blood glucose measurement. This electromagnetic method can be used for measurement on the tissue of a living creature. In this method, a bobbin is used as a sensor and a solution that contains the glucose (i.e. blood) is poured in its core. Any change in glucose concentration causes the dielectric solution parameter variation and hence the impedance of the bobbin changes. The ratio of the secondary bobbin signal to the reference signal of the primary bobbin,  $T/R$  ratio, is measured in RF frequencies and is used as an index of circuit impedance variation. Normally,  $T/R$  would only change as a function of glucose, but there are other interference parameters such as the solution volume, which affect the measurements. In this paper, the measurement setup and the method of changing glucose concentration is proposed. It has been shown that the volume variation has higher effects on the measurement output compared to that of glucose. A method has been proposed for compensation of the volume changes and finally, it has been shown that after this compensation, there will be a good correlation between the glucose concentration and the  $T/R$  ratio.

**Keywords:** Non-Invasive Glucose Monitoring, Electromagnetic Measurement of Glucose, Bio-Impedance Measurement of Glucose.

\* Corresponding author E-mail: granpayeh@eetd.kntu.ac.ir

Passive Defence Sci. & Tech. 2011, 4, 285-294

## ۱. مقدمه

غیرعامل نقش بسزایی دارند، یک روش جدید غیرتهاجمی موسوم به روش الکترومغناطیسی را برای اندازه‌گیری قند خون پیشنهاد می‌کنیم. برای این روش اندازه‌گیری علاوه بر موارد ذکر شده در فوق کاربردهای متعددی متصور است. تشخیص مواد منجره، مواد مخدود و دیگر مواد مخفی شده در داخل بدن به صورت غیر تماسی، یکی از دغدغه‌های نیروهای امنیتی است.

همچنین اندازه‌گیری و تشخیص علائم حیاتی به صورت غیرتهاجمی و در صورت لزوم ارسال آن، امکان کنترل آن و ارائه خدمات پایش<sup>۴</sup> از دیگر کاربردهای آن است. روش الکترومغناطیسی ارائه شده در این تحقیق می‌تواند برای اندازه‌گیری روی بافت بدن موجود زنده مورد استفاده قرار گیرد. علاوه بر آن، به کارگیری میدان‌های الکترومغناطیسی در مطالعه، بررسی و شیوه‌سازی محیط داخل بدن از جمله سلول‌ها، بافت‌ها و خصوصاً خون، به عنوان یک بافت و اثرات این میدان‌ها روی آنها در موضوعات غیرنظمی و پزشکی نیز رشد چشم‌گیری داشته است.

در قرن اخیر روش‌های زیادی برای اندازه‌گیری گلوکز خون به ثبت رسیده‌اند<sup>[۶-۴]</sup>. این روش‌ها را می‌توان به سه دسته تهاجمی، نیمه تهاجمی و غیرتهاجمی تقسیم کرد. در روش‌های تهاجمی مقدار مقدار قابل توجهی از خون به عنوان نمونه اندازه‌گیری از بدن جدا می‌شود، یا حسگر درون بدن کاشته می‌شود<sup>[۷، ۸]</sup>. در روش‌های نیمه تهاجمی حجم ناچیزی از مایع میان بافتی نمونه برداری می‌شود، یا یک حسگر کوچک در بدن کاشته می‌شود<sup>[۹-۱۱]</sup>. این دو روش اغلب با درد، عوارض و خطر ابتلا به عفونت همراه هستند. مشکلات و عوارض روش‌های تهاجمی و نیمه تهاجمی موجب شد که تحقیقات به سمت روش‌های غیرتهاجمی متمایل شوند، تا بیمار بتواند بدون درد و عوارض جانبی، با صرف کمترین وقت و هزینه در هرجا که بخواهد گلوکز خون خود را به دفعات اندازه‌گیری کند.

با وجود چندین دهه پژوهش و طرح دهها روش، هنوز هیچ روش غیرتهاجمی نتوانسته نیازهای فوق‌الذکر را برای بیمار تأمین کند<sup>[۱۲، ۱۳]</sup>. بیشتر روش‌ها مبتنی بر فن‌های نوری هستند<sup>[۱۷-۱۴]</sup> که رایج‌ترین آنها، طی‌نمایی فروسرخ است<sup>[۲۰-۱۸]</sup>. برخی دیگر مبتنی بر فن‌های امپدانسی هستند<sup>[۲۶-۲۱]</sup>. روش بیومپدانسی علاوه بر غیرتهاجمی بودن، کم هزینه، قابل حمل، کم ضرر و ساخت آن نیز آسان است. مبنای این روش آن است که تغییر غلظت مواد درون خون باعث تغییر پارامترهای دی‌الکتریک خون می‌شود<sup>[۲۹-۲۷]</sup>. تغییر پارامترهای دی‌الکتریک بافت، از طریق تغییر ضربیت القا متقابل یک ترانسفورمر<sup>[۲۶، ۲۵]</sup>، یا تغییر طیف امپدانسی بافت<sup>[۳۱، ۳۰]</sup> یا تغییر فرکانس تشدید یک مدار<sup>[۳۲]</sup> و ... آشکار می‌شود. حال اگر این تغییرات مورد مطالعه قرار گیرد، معیاری برای اندازه‌گیری غلظت گلوکز خواهد بود. روش مورد بحث این مقاله موسوم به روش الکترومغناطیسی و بر مبنای فن‌های بیومپدانسی است. این روش از

شواهد زیادی مبنی بر تأثیر میدان‌های الکترومغناطیس بر روندهای بیولوژیک موجودات زنده وجود دارد. گزارش‌های علمی حاکی از آن است که امواج الکترومغناطیسی می‌توانند اثرات مخربی روی سلامت انسان داشته باشند. محققان نشان داده‌اند که میدان‌های امواج الکترومغناطیسی به میزان بسیار زیادی به غشاء سلول‌های وابسته به دستگاه گردش خون و سیستم عصبی آسیب رسانده و بدین ترتیب غشاء سلول‌ها نمی‌توانند فعالیت طبیعی خود را که ثابت ترکیبات شیمیایی داخل سلول و نیز دفع مواد سمی داخل سلول است به خوبی انجام دهند. از سوی دیگر قرار گرفتن در معرض تشعشعات الکترومغناطیسی باعث اختلال در متابولیسم (سوخت و ساز) سلول‌ها شده و در طولانی مدت سبب از کارافتادن عضو مربوطه خواهد شد<sup>[۱]</sup>. در همین راستا سازمان بهداشت جهانی<sup>۱</sup> در سال ۱۹۹۶ میلادی به عنوان بخشی از منشور تعریف شده برای حفاظت از سلامت عمومی در پاسخ به توجه عامه مردم، پژوهه بین‌المللی EMF<sup>۲</sup> برای ارزیابی مدارک و شواهد علمی امکان تأثیر این امواج بر سلامت انسان را به مرحله اجرا گذاشت<sup>[۲]</sup>. تأثیر کارآمدی نیروها در موقعیت عملیات به طور کامل واضح و مشخص است. یکی از روش‌های جنگ نوین استفاده از فن‌هایی برای ناکارآمدسازی نیروهای انسانی است. برای این ناکارآمدسازی روش‌های مختلف شناخته شده‌ای از جمله روش‌های میکرووی، شیمیایی و هسته‌ای وجود دارد. استفاده از روش‌های الکترومغناطیسی به عنوان روش جدیدی در این راستا مطرح هستند. استفاده روزافزون از تسليحات غیرمرگبار نظیر سلاح‌های EMP<sup>۳</sup> که بر پایه امواج الکترومغناطیسی عمل می‌کنند، بیانگر این واقعیت است که به کارگیری این گونه تجهیزات در دکترین نظامی ابرقدرت‌های سلطه‌جو جایگاه ویژه‌ای دارد. این گونه تجهیزات علاوه بر تأثیری که بر تأسیسات و محیط اطراف خود می‌گذارند، می‌توانند تأثیرهای سوء نیز بر بدن انسان داشته باشند. افزایش کوچکی در تابش الکترومغناطیسی ممکن است باعث ایجاد سرطان خون و یک سری تغییرات در مغز و بدن به شکل شیمیایی شود و نیز فشار خون، ضربان قلب و پارامترهای دیگر خون نیز تغییر یابند<sup>[۱۱]</sup>. تشعشع میدان‌های الکترومغناطیسی می‌تواند برای مثال سطوح کلسیترول و انسولین و در نتیجه قند خون را تغییر دهد<sup>[۳]</sup>. در صورت وقوع این حادثه، برای تشخیص این تغییر نیازمند اندازه‌گیری میزان گلوکز خون تا چندین بار در روز هستیم. این مسئله در مورد افراد دیابتی نیز صدق می‌کند. معمولاً این اندازه‌گیری‌ها تهاجمی بوده و نیاز به نمونه‌گیری دارد.

اندازه‌گیری‌های غیرتهاجمی به عنوان یکی از مقوله‌های آزمون غیرمکرب مطرح هستند. از آنجا که آزمون‌های غیرمکرب در پدافند

<sup>1</sup> World Health Organization: WHO

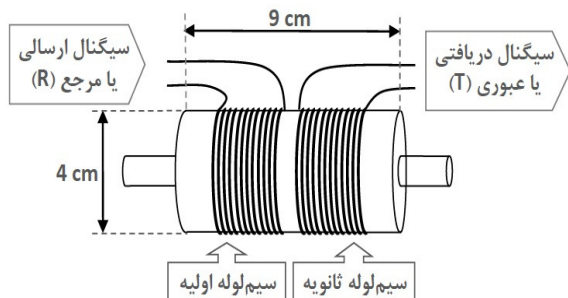
<sup>2</sup> Electromagnetic Field

<sup>3</sup> Electromagnetic Pulse

## ۲. تجهیزات و روش اندازه‌گیری

### ۲-۱. چینش آزمایش و تجهیزات

چینش تجهیزات در این پژوهش به‌گونه‌ای است که علاوه بر اندازه‌گیری نسبت  $T/R$  و نمایش آن، بتوان با تغییر حجم محلول درون سلول اندازه‌گیری اثر تغییرات حجم بر نسبت  $T/R$  را نیز مورد مطالعه قرار داد [۲۴]. شکل (۱) طرح سلول اندازه‌گیری را نشان می‌دهد. اساس کار سلول اندازه‌گیری یا همان حسگر الکترومغناطیسی مشابه [۲۷] است، بدین معنی که دو سیم‌لوله اولیه و ثانویه وجود دارند که محلول مورد بررسی نقش هسته آن را دارد. سلول متشكل از یک طرف استوانه شیشه‌ای نازک است که از طرفین به دو لوله باریک ختم می‌شود که برای ورود و خروج مایعت به کار می‌روند. دو سیم‌لوله به‌طور کامل مشابه در وسط استوانه به دور بدنه خارجی آن پیچیده شده‌اند که از طرفین به یک فاصله‌اند. هر سیم‌لوله از ۱۲ حلقه سیم لاکدار مسی به قطر ۱mm تشکیل شده و فاصله دو حلقه مجاور آن ۱mm است.



شکل ۱. سلول الکترومغناطیسی مناسب برای چینش اندازه‌گیری

به منظور شیلد شدن، این سلول درون یک محفظه فلزی قرار گرفته است و دو سر هر سیم‌لوله به اتصال BNC تعبیه شده بر بدنه محفظه، متصل شده است. شکل (۲) تصویر سلول و همچنین چینش تجهیزات را نشان می‌دهد که در آن یک تحلیل‌گر شبکه<sup>۳</sup> (HP4195A) برای اندازه‌گیری  $T/R$  به کار رفته است.

فرکانس مناسب برای اندازه‌گیری، فرکانسی است که تغییرات  $T/R$  نسبت به تغییرات غلظت گلوکز بیشترین حساسیت، ولی نسبت به سایر ورودی‌های تداخلی کمترین حساسیت را داشته باشد. از طرف دیگر، بهتر است  $T/R$  در این فرکانس تابعی خطی از غلظت گلوکز باشد. این فرکانس بیش از هر چیز به شکل سلول بستگی دارد. در [۲۳، ۲۴] بازه ۴4.775-44.875MHz فرکانس مناسب گزارش کردند؛ چون پیکربندی سلول‌ها یکسان است، همان فرکانس‌ها را برای کار انتخاب کردیم.

یک ترانسفورمر به‌عنوان حسگر الکترومغناطیسی استفاده می‌کند و با ریختن خون در هسته آن به بررسی اثر گلوکز بر ضریب القای متناظر سلول الکترومغناطیسی می‌پردازد. با اعمال سیگنال مرجع (R) به اولیه ترانسفورمر و دریافت سیگنال عبوری (T) در ثانویه و اندازه‌گیری نسبت  $T/R$ ، می‌توان این کمیت را به‌عنوان تابعی از غلظت گلوکز بیان کرد.

برخی پژوهش‌ها حاکی از توانایی این روش در اندازه‌گیری می‌زان گلوکز محلول مورد آزمایش تا دقیقاً ۰.۱gr/lit است [۲۵]. روش الکترومغناطیسی، ذاتاً غیرتهاجمی است و نیازی به تماس مستقیم با بافت مورد اندازه‌گیری ندارد و مانند روش‌های تهاجمی متدال نمونه خون گرفته شده از بیمار را مصرف نمی‌کند. وقتی اندازه‌گیری بر روی خون در حالی که خون درون رگ‌های بدن در جریان است انجام شود (حالت درون تنی)<sup>۱</sup> عوامل مزاحم زیادی (مانند تغییر دما، تغییر غلظت سایر ترکیبات خون و ...) می‌توانند بر نتایج اندازه‌گیری  $T/R$  تأثیر گذارند. هدف نهایی روش الکترومغناطیسی این است که با قرار گرفتن نوعی حسگر به دور بافتی از بدن (مثلًاً ساعد یا انگشت) بتواند غلظت گلوکز خون را در حالت درون تنی و به صورت غیرتهاجمی اندازه‌گیری کند. برای دست‌یابی به این مقصود لازم است تا ابتدا آزمایش‌ها بر نمونه خون انجام شود (حالت برون تنی)، تا در شرایط کنترل شده آزمایشگاهی نقش تک‌تک عوامل مزاحم در حالت درون تنی بر روی روش الکترومغناطیسی شناسایی شود و برای حذف اثر این عوامل چاره‌ای اندیشیده شود. چون در حالت درون تنی حجم خون در یک اندازه از بدن متغیر است، در این مقاله در شرایط کنترل شده نقش تغییر حجم بر مقدار  $T/R$  بررسی می‌شود. بر اساس آن، روشی برای جبران‌سازی اثر حجم ارائه می‌شود تا در جهت ارتقای روش الکترومغناطیسی برای اندازه‌گیری در حالت درون تنی، گامی برداشته و در آینده این روش به صورت غیرتهاجمی به بیماران عرضه شود.

در این مقاله با اینکه خون از بدن خارج شده و در سلول اندازه‌گیری قرار می‌گیرد ولی آن را غیر تهاجمی می‌نامیم، زیرا روش استفاده شده در نهایت غیر تهاجمی است. این مقاله به صورت زیر تنظیم شده است: بخش اول به بیان مقدمات لازم برای مباحث اصلی اختصاص داشت. بخش دوم به معرفی تجهیزات و چینش اندازه‌گیری پرداخته و تغییرات حجم خون در بدن را بررسی می‌کند، و در نهایت مفهوم ضریب روال تغییر غلظت گلوکز را ارائه می‌کند، و در نهایت تراکم پذیری مطرح می‌شود. در بخش سوم با انجام چندین آزمایش ضریب تراکم پذیری خون و تأثیر پذیری نسبت  $T/R$  از تغییر حجم و تغییر گلوکز بررسی می‌شود. در آخر طی یک آزمایش عملی مؤثر بودن روش جبران‌سازی اثر حجم نشان داده می‌شود. در بخش چهارم نیز نتیجه‌گیری مقاله ارائه می‌شود.

<sup>1</sup> Invivo

<sup>2</sup> Invitro

<sup>3</sup> Network Analyzer

دچار تغییرات زیادی خواهد شد. بنابراین استفاده از حسگر الکترومغناطیسی پیشنهاد شده در این پژوهش به صورت درون تنی T/R مستلزم حذف اثر تغییر حجم و فشار در نتایج اندازه‌گیری نسبت آست. در برخی اندازه‌گیری‌ها برای حذف اثر یک عامل مزاحم شرایط آزمایش را به‌گونه‌ای فراهم می‌کنند که عامل مزاحم مانند دما ثابت باشد و تأثیری بر نتیجه نداشته باشد [۲۴]. ولی طبق آنچه که در مورد عوامل تغییر حجم خون به‌ویژه فعالیت قلب گفته شد، حذف اثر حجم عوامل تغییر چنین راهکارهایی امکان‌پذیر نیست.

### ۳-۲. روش جبران‌سازی تغییر حجم

فرض کنید که با چینش شکل (۲) بخواهیم غلظت گلوکز را در دما، حجم و فشار ثابت به دست آوریم. در هسته سلول خون گاو حاوی ماده ضدانعقاد هیپارین ۴gr/Lit می‌ریزیم. در این حالت می‌توان  $|T/R|$  را تنها تابعی از غلظت گلوکز،  $C_g$ ، دانست. بنابراین داریم:

$$|T/R| = f(C_g) \quad (1)$$

از بسط تیلور رابطه فوق داریم:

$$|T/R| \approx f(C_{g_0}) + \frac{\partial f}{\partial C_g} \Bigg|_{C_g=C_{g_0}} \Delta C_g + O(\Delta C_g^2) \quad (2)$$

که در آن  $C_{g_0}$  و  $C_g$  به ترتیب مقادیر غلظت گلوکز خون قبل و بعد از تغییر است و  $\Delta C_g = C_g - C_{g_0}$ .

هرچه رابطه بین  $|T/R|$  و  $C_g$  خطی تر باشد جملاتی از بسط تیلور که دارای درجه بالاترند ضریب ناچیزتری خواهند داشت. چون رابطه خطی خوبی بین  $|T/R|$  و  $C_g$  مشاهده شده است [۲۴]، می‌توان از جمله‌های مرتبه بالاتر بسط تیلور چشم‌پوشی کرد. پس می‌توان معادله (۲) را به صورت زیر نوشت:

$$|T/R| = mC_g + b \quad (3)$$

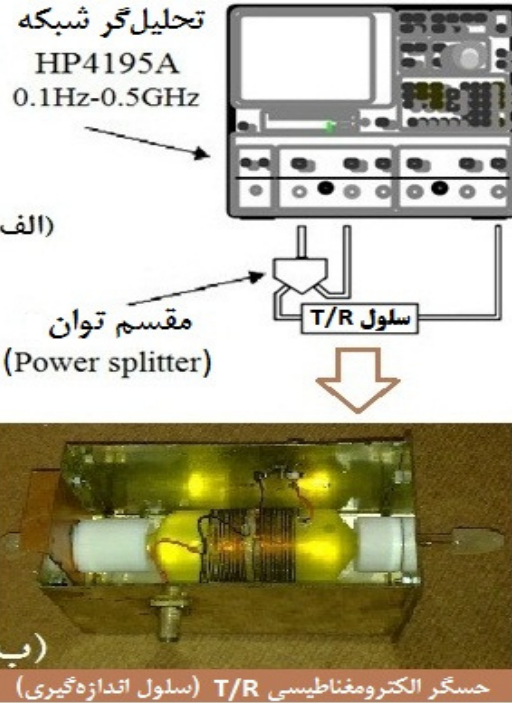
که در آن  $m = \frac{\partial f}{\partial C_g} \Bigg|_{C_g=C_{g_0}}$  و  $b = f(C_{g_0}) - \frac{\partial f}{\partial C_g} \Bigg|_{C_g=C_{g_0}} C_{g_0}$  است.

اما در اندازه‌گیری درون تنی که حجم خون درون سلول متغیر است، یک معادله دو متغیره داریم:

$$|T/R| = f(C_{g_0}, V) \quad (4)$$

از بسط تیلور رابطه فوق داریم:

$$|T/R| \approx f(C_{g_0}, V_0) + \frac{\partial f}{\partial C_g} \Bigg|_{C_g=C_{g_0}} \Delta C_g + \frac{\partial f}{\partial V} \Bigg|_{V=V_0} \Delta V + O(\Delta C_g^2 + \Delta V^2) \quad (5)$$



شکل ۲. (الف) چینش تجهیزات اندازه‌گیری، (ب) تصویر سلول اندازه‌گیری

### ۲-۲. تغییر حجم خون در اندام‌های بدن

همواره اندازه‌گیری‌ها روی محلولی انجام می‌شود که حجم ثابت دارد [۲۶-۲۳]، اما در بدن انسان حجم خون بافت دائمی در حال تغییر است. همین مسئله کاربرد این حسگر الکترومغناطیسی را در مصارف درون تنی دچار مشکل می‌کند. تغییر حجم خون بافت می‌تواند بر اثر عوامل مختلفی باشد. کم و زیاد شدن آب بدن، فعالیت فیزیکی، حتی حالت اندام مانند آویزان بودن آن باعث تغییر در حجم خون بافت می‌شود. هنگام انقباض قلب (سیستول) حجم زیادی از خون با فشار به سرخرگ‌ها هجوم می‌آورد. بدین طریق موج پرفشاری از خون در سرخرگ‌ها حرکت می‌کند. بهدلیل خاصیت ارجاعی دیواره‌های سرخرگ این موج به هر کجا برسد موجب تغییر قطر سرخرگ می‌شود. نبض نتیجه همین تغییر است. هرچه اختلاف فشار سیستول و دیاستول در آن سرخرگ بیشتر باشد، تغییرات قطر سرخرگ بیشتر است. درصد تغییرات حجم در واحد طول سرخرگ برای هر سرخرگ متفاوت است و بین ۵ تا ۴۰ درصد است [۳۳]. در اندامی مانند انگشت این تغییرات نبض مانند سرخرگ، می‌تواند موجب ۱ تا ۲ درصد تغییر در قطر کل بافت شود [۳۴]. از طرف دیگر تغییر فشار یک سیال (مانند خون در طی سیکل فعالیت قلبی) موجب ایجاد اندرکی تراکم‌پذیری در آن می‌شود و موجب تغییر چگالی سیال می‌شود. طبیعی است که اگر مقدار محلول تشکیل‌دهنده هسته در سلول الکترومغناطیسی تغییر کند و یا چگالی آن تغییر یابد امپدانس هسته و در نتیجه نسبت T/R

است و  $M_1$  جرم گلوکز باقیمانده در سلول اندازه‌گیری بعد از برداشتن  $\Delta V$  است.  $M_2$  جرم گلوکز در حجم  $\Delta V$  جدنشده از خون با چگالی  $C_{gg}$  که قرار است با خون باقیمانده درون حسگر مخلوط شود، برابر است با:

$$M_2 = C_{gg} (\Delta V) \quad (11)$$

جرم گلوکز خون درون سلول پس از مخلوط شدن ( $M_e$ ) برابر مجموع  $M_1$  و  $M_2$  است:

$$M_e = C_g (V_0 - \Delta V) + C_{gg} (\Delta V) \quad (12)$$

پس  $C_{ge}$  که غلظت گلوکز مخلوط حاصل است، به صورت زیر به دست می‌آید:

$$C_{ge} = \frac{M_e}{(V_0 - \Delta V) + \Delta V} = \frac{C_g (V_0 - \Delta V) + C_{gg} (\Delta V)}{V_0} \quad (13)$$

پس از هر بار تغییر غلظت از معادله فوق برای تعیین گلوکز مخلوط حاصل استفاده می‌کنیم.

## ۵-۲. ضریب تراکم پذیری

اگر مایع تراکم پذیر تحت فشار قرار گیرد، حجم آن کاهش یافته و در نتیجه چگالی آن بیشتر می‌شود. یکی از پارامترهای فیزیکی مایعات ضریب تراکم پذیری<sup>۱</sup> است که مقدار آن عکس عدد مدل حجمی آن مایع است. این ضریب در مکانیک سیالات به صورت: «تغییر نسبی حجم مایع در ازای تغییر فشار آن»، تعریف می‌شود [۳۵]:

$$B = -\frac{1}{V} \left( \frac{\partial V}{\partial P} \right)_T \quad (14)$$

که  $\beta$  ضریب تراکم پذیری مایع،  $V$  حجم مایع بر حسب متر مکعب و  $P$  فشار مایع بر حسب پاسکال است. مقدار نامی ضریب تراکم پذیری آب خالص برابر  $4.46 \times 10^{-10} \text{ Pa}^{-1}$  است [۳۵]. این عدد بیانگر این است که آب تقریباً مایعی تراکم پذیر است. تراکم پذیر بودن خون موجب می‌شود تا با تغییر فشار خون در سرخرگ‌ها، خون متراتکم شده و چگالی آن و در نتیجه پارامترهای دی‌الکتریک آن دست‌خوش تغییر شود و بدین ترتیب تغییر فشار خون موجب تغییر اندازه‌گیری‌های  $T/R$  می‌شود. بنابراین بررسی ضریب تراکم پذیری خون ضرورت دارد.

## ۳. نتایج و بحث

همان‌طور که در زیربخش ۲-۲ گفته شد، تغییرات فشار خون موجب تراکم پذیری خون و نیز تغییر حجم خون درون سرخرگ‌ها می‌شود. در این قسمت، طی آزمایش‌های اثر تراکم پذیری خون و تغییر حجم آن در درون سلول اندازه‌گیری در نتایج اندازه‌گیری مورد بررسی قرار می‌گیرد.

که در آن  $V_0$  و  $V$  به ترتیب حجم خون درون سلول قبل و بعد از تغییر است با فرض خطی بودن رابطه  $|T/R|$  و  $V_0$  از مؤلفه  $O(\Delta C_g^2 + \Delta V^2)$  می‌توان مانند قبل چشم‌پوشی کرد (این فرض در زیربخش ۳-۳ اثبات می‌شود). با فرض ثابت بودن غلظت گلوکز و خطی بودن تغییرات  $|T/R|$  نسبت به تغییر حجم، معادله زیر از معادله (۵) به دست می‌آید:

$$\Delta |T/R| = |T/R| - |T/R|_{V_0} = \Delta V \quad (6)$$

که در آن  $\Delta V = V - V_0$  و  $= \frac{\partial f}{\partial V}|_{V=V_0}$  است. بنابراین مقدار جبران‌سازی شده  $|T/R|_{comp}$  که معادل  $|T/R|$  در شرایط حجم اولیه است به صورت زیر به دست می‌آید:

$$|T/R|_{comp} = |T/R| - \Delta V \quad (7)$$

این معادله برای محاسبه  $|T/R|_{comp}$  در حجم‌های متفاوت به کار برد خواهد شد. با جایگذاری معادله (۵) در معادله (۷) داریم:

$$|T/R|_{comp} = f(C_{g0}, V_0) + \frac{\partial f}{\partial C_g} \Big|_{C_g=C_{g0}} \Delta C_g \quad (8)$$

که همان معادله (۵) است، با این تفاوت که تغییری در حجم وجود ندارد و تنها متغیر غلظت گلوکز است. با جایگذاری  $\Delta C_g = C_g - C_{g0}$  در معادله (۸) داریم:

$$|T/R|_{comp} = m C_g + b \quad (9)$$

که در آن  $m = \frac{\partial f}{\partial C_g} \Big|_{C_g=C_{g0}}$  و  $b = f(C_{g0}, V_0) - \frac{\partial f}{\partial C_g} \Big|_{C_g=C_{g0}} C_{g0}$  در معادله (۳) حجم برابر  $V_0$  است و در معادله (۹) حجم را به کمک معادله (۷) به مقدار  $V_0$  جبران‌سازی کرده‌ایم. بنابراین  $f(C_{g0}, V)$  در عبارت  $b$  معادله (۹) با  $(C_{g0})$  در عبارت  $b$  معادله (۳) برابر است.

## ۴-۲. روال تغییر گلوکز محلول

برای دست یافتن به اندازه‌گیری دقیق غلظت گلوکز، به جای حل کردن گلوکز در خون، غلظت گلوکز را به شرحی که بیان می‌کنیم، تغییر می‌دهیم. در این روش، ابتدا مقدار  $\Delta V$  از خون درون سلول اندازه‌گیری که دارای غلظت گلوکز  $C_{gg}$  است را برمی‌داریم. مقدار جرم گلوکز خون با غلظت  $C_{gg}$  را جایگزین آن می‌کنیم. مقدار  $\Delta V$  را از آن جدا می‌کنیم برابر است با:

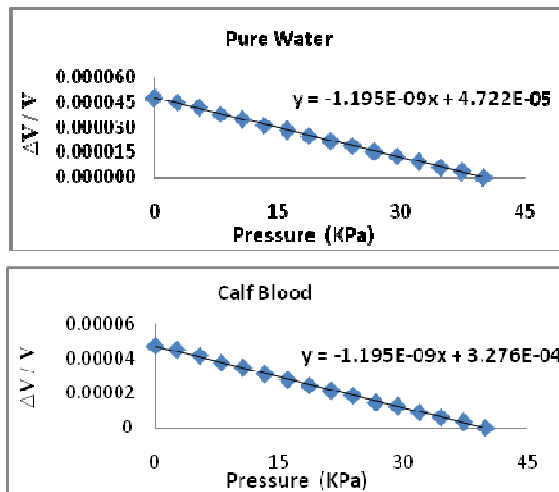
$$M_1 = C_g (V_0 - \Delta V) \quad (10)$$

که  $V_0$  حجم کل خون درون سلول اندازه‌گیری قبل از برداشتن  $\Delta V$

<sup>1</sup> Compressibility Factor  
<sup>2</sup> Bulk

فشار را رفتارفته تا 300mmHg بالا بردیم و تغییرات سطح مایع در ستون پیپت را یادداشت کردیم. در هر دو مایع مورد آزمایش در ازاء بیشینه تغییرات فشار ( $\Delta P_{max} = 300\text{mmHg}$ ) بیشینه تغییرات حجم ( $\Delta V_{max}$ ) برابر  $-0.058\text{ml}$  است. تغییر حجمی نسبی مایع ( $\Delta V/V_0$ ) به عنوان تابعی از فشار، در نمودارهای شکل (۴) رسم شده است. شیب نمودارها مقدار ضریب تراکم‌پذیری هر دو مایع مورد آزمایش را تعییه شده است. این شیر پس از بسته شدن حتی هوا را نیز عبور نمی‌دهد.

تابعی از فشار، در نظر گرفتن نتایجی که در مراجع گزارش شده است ( $4.46 \times 10^{-10}\text{ Pa}^{-1}$ ) مشاهده می‌شود که عدد دست آمده توسط چینش پیشنهادی، با در نظر گرفتن نتایجی که در مراجع گزارش شده است ( $4.46 \times 10^{-10}\text{ Pa}^{-1}$ ) مشاهده می‌شود که عدد به دست آمده در این آزمایش 2.68 برابر عدد مراجع است.



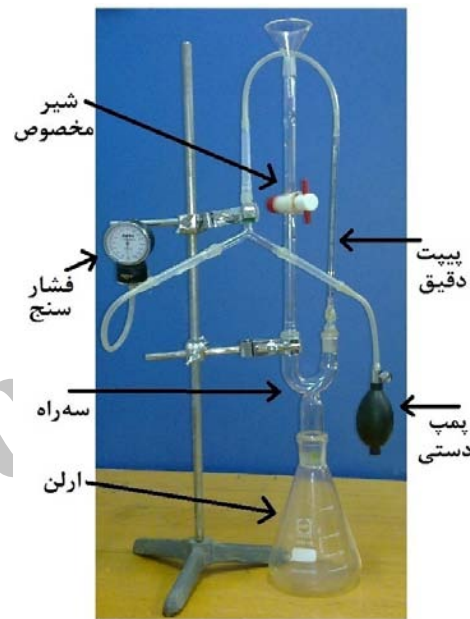
شکل ۴. تغییرات نسبی حجم دو مایع  $\left(\frac{\Delta V}{V_0}\right)$ ، نسبت به فشار آنها

دلیل این اختلاف، افزایش حجم ظرف در اثر فشاری است که مایع از داخل به بدنه آن وارد می‌کند. بنابراین، نتیجه اندازه‌گیری برای ضریب تراکم‌پذیری خون گاو نیز نمی‌تواند صحیح باشد. اما در اینجا اثبات می‌کنیم که ضریب هم‌بستگی آب و خون اختلاف چندانی با هم نخواهد داشت. فرض می‌کنیم ظرف در اثر افزایش فشار درون آن به اندازه  $\Delta V_2$  بزرگ‌تر شود. از ظرف دیگر حجم مایع به دلیل افزایش فشار آن به اندازه  $\Delta V_1$  کاهش می‌یابد. بنابراین  $\frac{\Delta V_1}{V_1}$  و  $\frac{\Delta V_2}{V_2}$  به ترتیب تغییرات نسبی حجم ظرف و مایع است که  $V_2$  و  $V_1$  به ترتیب حجم اولیه درون ظرف و حجم کل مایع و  $V_2 = V_1 = V$  است. برای  $\Delta V_e$  که تغییرات مؤثر حجم مایع در این آزمایش است، داریم  $\Delta V_e = \Delta V_1 + \Delta V_2$ . بنابراین برای ضریب تراکم‌پذیری کل مجموعه داریم:

$$B_{ev} = -\frac{1}{V} \frac{\Delta V_1 + \Delta V_2}{\Delta P} = -\left( \frac{1}{V} \frac{\Delta V_1}{\Delta P} \right) - \left( \frac{1}{V} \frac{\Delta V_2}{\Delta P} \right) = B_w + B_d \quad (15)$$

### ۳-۱. بررسی عملی ضریب تراکم‌پذیری

برای اندازه‌گیری ضریب تراکم‌پذیری، چینش شکل (۳) را طراحی و پیاده‌سازی کردیم. این چینش شامل یک مخزن است که دهانه آن به یک سهراهی وصل شده است. یک سر دیگر سهراه به پیپت مدرج دقیق و سر دیگر به لوله‌ای وصل است که در وسط آن شیر مخصوصی تعییه شده است. این شیر پس از بسته شدن حتی هوا را نیز عبور نمی‌دهد.



شکل ۳. چینش اندازه‌گیری ضریب تراکم‌پذیری

جنس مجموعه فوق شیشه‌ای است. اتصالات آنها به خوبی عایق‌بندی شده و صلب است و آن را ظرف می‌نامیم. حجم ظرف ( $V_0$ ) 1227ml است. انتهای پیپت توسط یک شلنگ لاستیکی به یک فشار سنج و یک پمپ فشار متصل شده است. ابتدا مایع مورد بررسی از مسیر شیر وارد ظرف می‌شود و اجازه می‌دهیم هوای درون ظرف از مسیر پیپت تخلیه شود. این کار را تا رسیدن سطح مایع به شیر ادامه داده و نمی‌گذاریم هیچ حباب هوایی در ظرف باقی بماند. سپس شیر را بسته و شلنگ را به سر آزاد پیپت متصل می‌کنیم و توسط پمپ دستی فشار هوا را در سر پیپت افزایش می‌دهیم. فشار سیال در حالت سکون در تمام نقاط آن ثابت است، بنابراین فشار هوا اعمال شده به سر پیپت با فشار در تمام نقاط ظرف برابر است [۳۵]. این چینش تغییرات حجم را به شکل جایه‌جایی سطح مایع درون پیپت نشان می‌دهد. چندین آزمایش برای آب خالص و خون گاو (محتوی 4 gr/lit) در دمای ثابت ۲۵ درجه سلسیوس ترتیب دادیم.

$$E_m = B_{\max} - B_{\min} = |B_b - B_w| = 0.56 \times 10^{-10} \text{ Pa}^{-1} \quad (20)$$

با مقایسه مقدار با ضریب تراکم‌پذیری واقعی آب ( $4.46 \times 10^{-10} \text{ Pa}^{-1}$ ) می‌بینیم که بیشینه اختلاف احتمالی ضریب تراکم‌پذیری واقعی آب و ضریب تراکم‌پذیری واقعی خون کمتر از ۱۳٪ است. بنابراین می‌توان از تراکم‌پذیر بودن خون نیز همانند آب صرف‌نظر کرد. به عبارت دیگر در فشارهای معمول بدن انسان (120 mmHg) خون آن چنان تراکم‌پذیر است که چگالی آن در اثر تغییر فشار ثابت می‌ماند و نمی‌تواند تأثیر ملموسی بر نسبت  $T/R$  در حسگر الکترومغناطیسی داشته باشد.

### ۲-۳. حساسیت به تغییر حجم

برای تعیین رابطه بین حجم و نسبت  $T/R$  آزمایشی ترتیب دادیم که در آن حجم محلول درون سلول بتواند تغییر کند. برای این کار چنین شکل (۲) به کار رفت و از خون گاو با غلظت گلوکز (1.3 gr/Lit) و هپارین ۴ gr/Lit استفاده کردیم. دما ۲۵ درجه و ثابت است و حجم سلول ۹۷ ml است. ابتدا ۹۲ ml از خون مذکور را در سلول می‌ریزیم و یک سر سلول را به سرنگ هوا متصل کردیم. با این سرنگ می‌توان هوا را با دقت ۰.۱ ml به سلول وارد کرد و به تبع آن از سر دیگر سلول همان حجم از خون خارج می‌شود. تحلیل‌گر شبکه HP4195A را برای اندازه‌گیری در این وضعیت کالیبره می‌کنیم. اکنون اندازه‌گیری را با تغییر حجم خون درون سلول آغاز می‌کنیم و با تنظیم HP4195A برای یک جاروب فرکانسی بین ۱ تا ۱۰۰ مگاهرتز نتایج  $T/R$  را بر حسب فرکانس و حجم مشاهده کرده و توسط یک ارتباط USB نتایج را در رایانه ذخیره می‌کنیم. با بررسی نتایج بدست آمده، مشخص شد که نسبت  $T/R$  تنها در برخی فرکانس‌ها تابعی خطی از تغییرات حجم است. در زیر ریخت ۱-۲ بازه (44.775-44.875 MHz) را برای اندازه‌گیری مناسب دانستیم. شکل (۵) نتایج  $T/R$  در فرکانس 44807.5 KHz را نشان می‌دهد. هر نقطه بر نمودار نشان‌دهنده یک اندازه‌گیری دامنه  $T/R$  در آن فرکانس و حجم مربوطه است.

که  $\beta_{ew}$  ضریب تراکم‌پذیری مؤثر آب است که توسط دستگاه اندازه‌گیری شده است.  $\beta_w$  ضریب تراکم‌پذیری واقعی آب و  $\beta_b$  ضریب انبساط حجمی ظرف نسبت به تغییرات فشار است. برای خون نیز داریم:

$$B_{eb} = B_b - B_d \quad (16)$$

که  $\beta_b$  و  $\beta_{eb}$  به ترتیب ضریب تراکم‌پذیری واقعی و مؤثر خون است که توسط دستگاه اندازه‌گیری شده است. با ترکیب معادله‌های (۱۵) و (۱۶) و حذف پارامتر مشترک  $\beta$  خواهیم داشت:

$$B_{eb} - B_{ew} = B_b - B_v \quad (17)$$

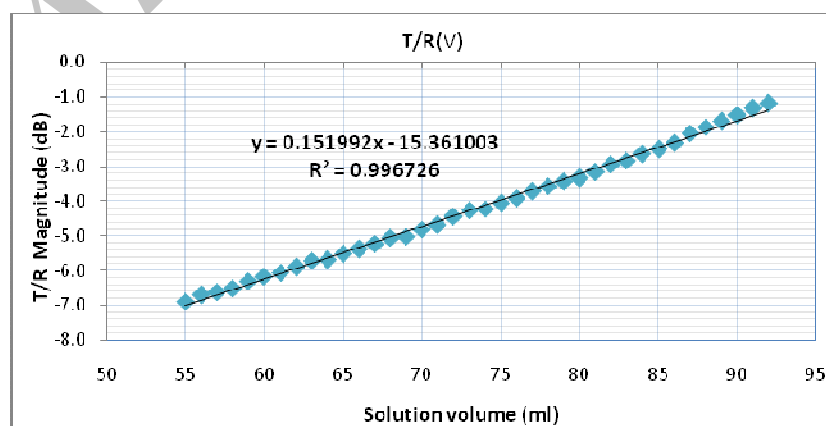
از شبیه نمودارهای شکل (۴) می‌بینیم که نتایج اندازه‌گیری  $\beta_{ew}$  با یکسان است؛ بنابراین  $B_{eb} - B_{ew} = 0$  و مقدار اختلاف ضریب تراکم‌پذیری خون و آب  $B_b - B_w$  بیشینه می‌تواند به اندازه خطای اندازه‌گیری باشد. در مراجع  $\beta_w = 4.46 \times 10^{-10} \text{ Pa}^{-1}$  آمده است [۳۵]. برای تعیین محدوده  $\beta$  باید خطای اندازه‌گیری را بدست آورد. دقت پیپت مدرج ( $E_{\partial V}$ ) برابر ۰.۰۰۱ میلی لیتر است و دقت حجم محلول درون دستگاه ( $E_V$ ) برابر ۰.۱ میلی لیتر و دقت فشارستنج ( $E_{\partial P}$ ) برابر ۲۶۶.۶ پاسکال است. طبق نمودار شکل (۴)، تغییرات حجم نسبت به تغییرات فشار رابطه خطی دارد، بنابراین در معادله (۱۴) می‌توان به جای  $\theta$  از  $\Delta$  استفاده کرد، که بیشینه ضریب تراکم‌پذیری به صورت زیر به دست می‌آید:

$$B_{\max} = \frac{-1}{V_0 - E_V} \frac{\Delta V_{\max} - E_{\partial V}}{\Delta P_{\max} - E_{\partial P}} = 1.21 \times 10^{-9} \text{ Pa}^{-1} \quad (18)$$

که  $V_0 = 1227 \text{ ml}$  و  $\Delta V_{\max} = -0.058 \text{ ml}$ ،  $\Delta P_{\max} = 39990 \text{ pa}$  است. به همین ترتیب، برای کمینه ضریب تراکم‌پذیری داریم:

$$B_{\max} = \frac{-1}{V_0 + E_V} \frac{\Delta V_{\max} + E_{\partial V}}{\Delta P_{\max} + E_{\partial P}} = 1.154 \times 10^{-9} \text{ Pa}^{-1} \quad (19)$$

از اختلاف دو معادله (۱۸) و (۱۹) خطای کل ( $E_m$ ) را داریم:

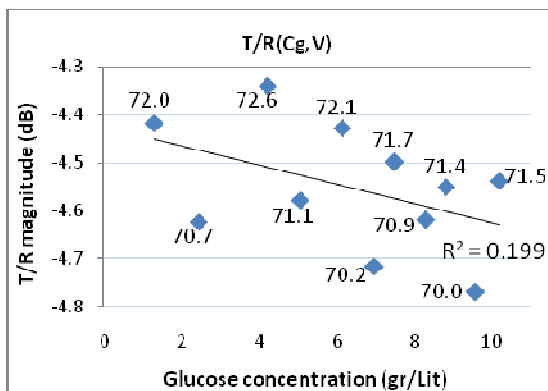


شکل ۵. تغییرات نسبت  $T/R$  نسبت به حجم در غلظت گلوکز ثابت در فرکانس 44807.5 KHz

که نشان می دهد اثر تغییرات حجم در نتایج سلول  $T/R$  به مراتب بیشتر از اثر تغییرات گلوکز است و بنابراین باید اثر حجم جبران سازی شود.

#### ۴-۳. اعمال روش جبران سازی

برای تضمین روش جبران سازی آزمایشی طرح کردیم که در آن هم حجم و هم غلظت گلوکز تغییر یابد. آزمایش را با غلظت گلوکز  $V_0 = 72 \text{ mL}$  و حجم اولیه  $1.3 \text{ gr/Lit}$  روش زیربخش ۴-۲ تغییر می دهیم و بعد حجم سلول  $T/R$  را تغییر می دهیم. از آنجا که حساسیت  $T/R$  به حجم چندین برابر حساسیت آن به گلوکز است، در این آزمایش حجم را بسیار کم تغییر می دهیم. شکل (۷) نتایج این آزمایش را نشان می دهد.



شکل ۷. تغییرات  $T/R$  نسبت به غلظت گلوکز و حجم خون

مقادیر حجم در هر اندازه گیری در کنار آن نوشته شده است. کمیت  $R^2 = 0.199$  نشان می دهد که نسبت  $T/R$  هم بستگی با غلظت گلوکز ندارد. برای جبران اثر تغییرات حجم با روش زیربخش ۴-۲، معادله (۲۱) را در معادله (۷) جایگذاری می کنیم:

$$|T/R|_{comp} = |T/R|_V - \Delta V = |T/R|_V - 0.151992\Delta V \quad (24)$$

با این معادله می توان اثر تغییرات حجم را جبران سازی کرد و در نتیجه  $|T/R|_{comp}$  تنها تابعی از غلظت گلوکز خواهد بود. با اعمال این معادله به نتایج آزمایش قبل و نمودار شکل (۷)، مشاهده می شود که نتایج بسیار بهبود می یابند که در شکل (۸) نشان داده شده است. عبارت  $R^2 > 0.96$  نشان می دهد که هم بستگی خطی خوبی بین نتایج  $T/R$  جبران سازی شده و غلظت گلوکز وجود دارد. روند مربوط به نتایج شکل های (۷) و (۸) چندین نوبت تکرار شد و برای کلیه آزمایش ها مقدار  $R^2 > 0.93$  و با میانگین  $0.96$  به دست آمد.

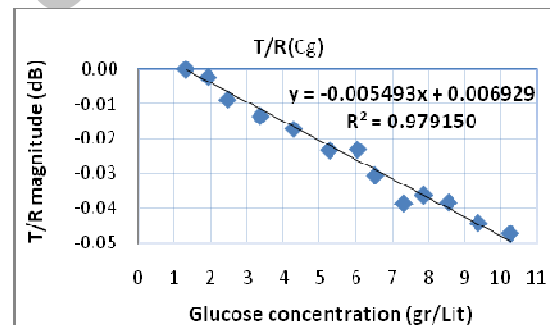
همچنان که مشاهده می شود، با منطبق کردن یک خط بر نمودار، معادله (۲۱) به دست می آید که شب آن بیانگر حساسیت  $T/R$  نسبت به تغییرات حجم است.

$$|T/R| = 0.151992V - 15.361003 \quad (21)$$

که  $V$  حجم خون درون سلول اندازه گیری است. مقدار  $R^2$  عددی بین ۰ و ۱ است که بیان می کند به چه میزان مقادیر تخمین زده شده برای خط گرایش<sup>۱</sup> داده های تطبیق شده به مقادیر واقعی داده ها نزدیک است. نزدیک بودن آن به عدد ۱ نشان دهنده نزدیک بودن هرچه بیشتر داده های نمودار به نتایج حاصل از معادله خط است.

#### ۳-۳. حساسیت به تغییر گلوکز

برای تعیین رابطه بین گلوکز و نسبت  $T/R$  آزمایشی دیگر ترتیب دادیم. برای این کار چینش شکل (۲) را به کار بردهیم و از خون گاو با غلظت گلوکز اولیه ( $1.3 \text{ gr/Lit}$ ) و همپارین  $4 \text{ gr/Lit}$  استفاده کردیم. غلظت گلوکز را با روش زیربخش ۴-۲ بالا می بریم. به دلیل اینکه بتوانیم برای تغییر گلوکز خون آن را خوب مخلوط کنیم، حجم خون درون سلول را  $92 \text{ ml}$  ثابت نگه می داریم تا اندازه گیری ها با آزمایش ۲-۳ از یک حجم شروع شده و نتایج قابل مقایسه باشند. دما ۲۵ درجه و ثابت است. شکل (۶) نتایج این آزمایش را نشان می دهد.



شکل ۶. تغییرات  $T/R$  نسبت به غلظت گلوکز در حجم ثابت در فرکانس  $44.8075 \text{ MHz}$

با منطبق کردن یک خط بر نمودار، معادله زیر حاصل می شود که شب آن بیانگر حساسیت  $T/R$  نسبت به تغییرات غلظت گلوکز است.

$$|T/R| = 0.005493C_g - 0.006929 \quad (22)$$

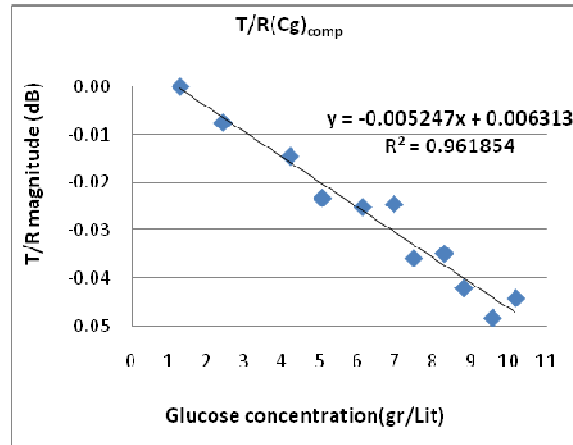
با مقایسه معادله های (۲۱) و (۲۲) داریم:

$$\frac{\partial |T/R|}{\partial V} \Big|_{C_g=C_{g0}} = \frac{0.151992}{0.005493} \cong 27.67 \quad (23)$$

$$\frac{\partial |T/R|}{\partial C_g} \Big|_{V=V_0} =$$

<sup>۱</sup> Trend Line

- [2] Suess, M. J. "La Protection Contre les Rayonnements Non Ionisants."; Organisation Mondiale de la Santé (OMS: World Health Organization) Bureau Régional de l' Europe, 1991.
- [3] Chen, Y. B.; Li, J.; Qi, Y.; Miao, X.; Zhou, Y.; Ren, D.; Guo, G. Z. "The Effects of Electromagnetic Pulses (EMP) on the Bioactivity of Insulin and a Preliminary Study of Mechanism."; Int. J. Radiat. Biol. 2010, 86, 22-61.
- [4] Holt, R. I. G.; Cockram, C. S.; Flyvbjerg, A.; Goldstein, B. J. "Textbook of Diabetes."; 4th edition, Wiley Blackwell, 2010.
- [5] Khalil, O. S.; "Non-Invasive Glucose Measurement Technologies: an Update from 1999 to the Dawn of the New Millennium."; Diabetes Technol. Ther. 2004, 6, 660-697.
- [6] Klonoff, D. C. "Noninvasive Blood Glucose Monitoring."; Diabetes Care 1997, 20, 433-437.
- [7] Newman, J. D.; Turner, A. P. F. "Home Blood Glucose Biosensors: A Commercial Perspective."; J. Biosens. Bioelectron. 2005, 20, 2435-2453.
- [8] Girardin, C. M.; Huot, C.; Gonthier, M.; Delvin, E. "Continuous Glucose Monitoring: A Review of Biochemical Perspectives and Clinical Use in Type 1 Diabetes."; J. Clin. Biochem. 2009, 42, 136-142.
- [9] McNamara, K. P.; Rosenzweig, Z. "Optochemical Glucose Sensing in Volume Limited Samples."; IEEE-LEOS Newsletter 1998, 12, 36-38.
- [10] Ward, W. K.; Jansena, L. B.; Andersona, E.; Reachb, G.; Kleinc J. C.; Wilsond, G. S. "A New Amperometric Glucose Microsensor: *In vitro* and Short-Term *In vivo* Evaluation."; J. Biosens. Bioelectron. 2002, 17, 181-189.
- [11] Mitragotri, S.; Coleman, M.; Kost, J.; Langer, R. "Analysis of Ultrasonically Extracted Interstitial Fluid as a Predictor of Blood Glucose Levels."; J. Appl. Physiol. 2000, 89, 961-966.
- [12] Tura, A.; Maran, A.; Pacini, G. "Non-Invasive Glucose Monitoring: Assessment of Technologies and Devices According to Quantitative Criteria."; J. Diabetes Research and Clinical Practice 2007, 77, 16-40.
- [13] Amaral, C. E. F. D.; Wolf, B. "Current Development in non-Invasive Glucose Monitoring."; J. Med. Eng. Phys. 2008, 30, 541-549.
- [14] Heise, H. M. "Near-Infrared Spectrometry for *In vivo* Glucose Sensing"; in Biosensors in the Body Continuous *In vivo* Monitoring, ed. by Fraser, D. M.; John Wiley, Chichester 1997, 79-116.
- [15] Rawer, R.; Stork, W.; Müller-Glaser K. D. "Polarimetric Methods for Measurement of Intra Ocular Glucose Concentration."; Biomed. Tech. Berl. 2002, 47, 186-188.
- [16] Geddes, C. D.; Lakowicz, J. R. "Topics in Fluorescence Spectroscopy. Volume 11: Glucose Sensing"; Springer, 2006.
- [17] Larin, K. V.; Motamed, M.; Eleddrisi, M. S.; Esenaliev, R. O. "Noninvasive Blood Glucose Monitoring with Optical Coherence Tomography: A Pilot Study in Human Subjects."; Diabetes Care 2002, 25, 2263-2267.
- [18] Heise, H. M.; Marbach, R.; Koschinsky, T.; Gries F. A. "Noninvasive Blood Glucose Sensors Based on Near-Infrared Spectroscopy."; Artif. Organs. 1994, 18, 439-447.
- [19] Maruo, K.; Tsurugi, M.; Chin, J.; Ota, T.; Arimoto, H.; Yamada, Y.; Tamura, M.; Ishii, M.; Ozaki, Y. "Noninvasive Blood Glucose Assay Using a Newly Developed Near-Infrared System."; IEEE Journal of Selected Topics in Quantum Electronics 2003, 9, 322-330.
- [20] Yamakoshi, Y.; Ogawa, M.; Yamakoshi, T.; Satoh, M.; Nogawa, M.; Tanaka, S.; Tamura, T.; Rolfe, P.; Yamakoshi, K. "A New Non-invasive Method for Measuring Blood Glucose Using Instantaneous Differential Near Infrared Spectrophotometry."; Proceedings the 29th Annual International Conference of the IEEE EMBS CitéInternationale Lyon France 2007, 2964-2967.
- [21] Caduff, A.; Dewaratt, F.; Talary, M.; Stalder, G.; Heinemann, L.; Feldman, Y. "Non-Invasive Glucose Monitoring In Patients with Diabetes: A Novel System Based on Impedance Spectroscopy"; J. Biosen. Bioelectron. 2006, 22, 598-604.



شکل ۸. نتایج اعمال روش جبران‌سازی بر نتایج نمودار شکل (۷)

#### ۴. نتیجه‌گیری

در این مقاله از یک روش جدید غیرتھاجمی موسوم به روش الکترومغناطیسی برای اندازه‌گیری قند خون استفاده شده است. اندازه‌گیری‌های غیرتھاجمی به عنوان یکی از مقوله‌های آزمون غیرمخرب مطرح هستند که آزمون‌های غیرمخرب در پدافند غیرعامل نقش بسزایی دارند. روش الکترومغناطیسی پیشنهاد شده با اندازه‌گیری غلظت گلوكز خون از خارج بافت بدن می‌تواند در این زمینه مورد استفاده قرار گیرد. در این حالت پارامترهای ناخواسته در نتایج اندازه‌گیری دخالت دارند که باید نقش آنها را شناسایی کرده و اثر آنها را در اندازه‌گیری از بین برد. یکی از عوامل مزاحم حالت درون‌تنی، تغییرات حجم خون درون بافت است. زیرا که حجم خون بافت زنده متغیر است. هدف از این مقاله بهبود حسگر الکترومغناطیسی به کار برده شده برای استفاده در کاربردهای درون‌تنی است. نتایج آزمایش‌های مطرح شده در این مقاله نشان داد که حساسیت  $T/R$  به تغییرات حجم خون بسیار بیشتر از حساسیت به تغییرات گلوكز است؛ بنابراین جبران‌سازی اثر حجم گریزناپذیر است. اعمال جبران‌سازی اثر حجم بر اندازه‌گیری همبستگی خطی خوبی را بین  $T/R$  و غلظت گلوكز خون نتیجه داد ( $R^2 > 0.96$ ). این پژوهش گامی در جهت بهبود حسگر الکترومغناطیسی روش بیومپانسی است، تا بتوان اثر یکی از مؤلفه‌های تأثیرگذار در اندازه‌گیری که باعث کاهش دقت می‌شود را بر طرف کرد.

#### ۵. مراجع

- [1] "Handbook of Biological Effects of Electromagnetic Fields.", CRC Press Inc., 0-8493-0641-8/96, - pg. 117, 119, 474-485, 542-551, 565, 1996.

- [28] Park, J. H.; Kim, C. S.; Choi, B. C.; Ham, K. Y. "The Correlation of the Complex Dielectric Constant and Blood Glucose at Low Frequency."; *J. Biosens. Bioelectron.* 2003, 19, 321-324.
- [29] Gabriel, C.; Gabriely, S.; Corthout, E. "The Dielectric Properties of Biological Tissues: I. Literature Survey."; *J. Phys. Med. Biol.* 1996, 41, 2231-2249.
- [30] Caduff, A.; Hirt, E.; Feldman, Y.; Ali, Z.; Heinemann, L. "First Human Experiments with a Novel Non-Invasive, Non-Optical Continuous Glucose Monitoring System."; *J. Biosen. Bioelectron.* 2003, 19, 209-217.
- [31] Tura, A.; Sbrignadello, S.; Barison, S.; Conti, S.; Pacini, G. "Impedance Spectroscopy of Solutions at Physiological Glucose Concentrations."; *J. Biophys. Chem.* 2007, 129, 235-241.
- [32] Talary, M. S.; Dewarrat, F.; Caduff, A.; Puzenko, A.; Ryabov, Y.; Feldman, Y. "An RCL Sensor for Measuring Dielectrically Lossy Materials in the MHz Frequency Range: 1. Comparison of Hydrogel Model Simulation with Actual Hydrogel Impedance Measurements."; *IEEE Transactions on Dielectrics and Electrical Insulation* 2006, 13, 247-256.
- [33] Thiriet, M. "Biology and Mechanics of Blood Flows. Part II: Mechanics and Medical Aspects."; Springer, 2008.
- [34] Webster, J. G. "Design of Pulse Oximeters."; Taylor & Francis, 1997.
- [35] Streeter, V. L.; Wylie, E. B. "Fluid Mechanics."; McGraw-Hill, 1985
- [22] Jean, B. R.; Green, E. C.; McClung, M. J. "A Microwave Frequency Sensor for Non-Invasive Blood-Glucose Measurement."; *IEEE Sensors Applications Symposium Atlanta GA*, Feb. 2008, 4-7.
- [23] Alavi, S. M.; Rouane, A.; Nadi, M. "Preliminary Results of a New Method for Non-Invasive Glucose Measurement."; *3rd International Conference on Bioelectromagnetism 2000*, Bled Slovenia.
- [24] Alavi, S. M.; Gourzi, M.; Rouane, A.; Nadi, M. "An Original Method for Non-Invasive Glucose Measurement: Preliminary Results."; *Proceedings the 23rd Annual EMBS International Conference 2001*, Istanbul Turkey, 4, 3318-3320.
- [25] Gourzi, M.; Rouane, A.; Alavi, S. M.; Nadi, M. "Non-Invasive Glycaemia Blood Measurement: Study in Static and Dynamic Blood Circulation."; *J. Med. Eng. Technol.* 2005, 29, 22-26.
- [26] Gourzi, M.; Rouane, A.; Guelaz, R.; Nadi, M.; Jaspard, F. "Study of a New Electromagnetic Sensor for Glycaemia Measurement: in-vitro Results on Pig Blood."; *J. Med. Eng. Technol.* 2003, 27, 276-281.
- [27] Alavi, S. M.; Rouane, A.; Gourzi, M.; Nadi, M. "Utilization of Blood Conductivity Variation for Non-Invasive blood Glucose Measurement."; *XII International Conference on Electrical Bio-Impedance 2004*, Gdansk, Poland.